

# Biliardi matematici

Alberto Abbondandolo

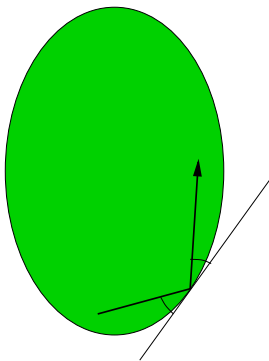
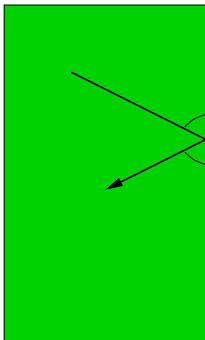
Università di Pisa

AlfaClass Update, 20-22 maggio 2011



## La legge di riflessione

La palla da biliardo, che pensiamo puntiforme, rimbalza sulla sponda formando con essa un angolo di riflessione uguale all'angolo di incidenza.



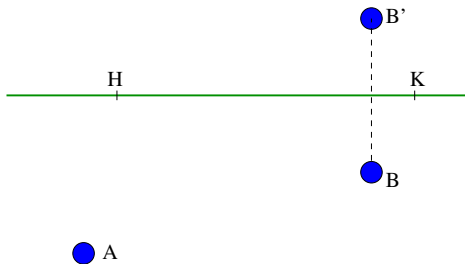
## Giocare di sponda

Su quale punto della sponda  $HK$  occorre mirare in modo che la palla inizialmente in  $A$  raggiunga la posizione  $B$ ?



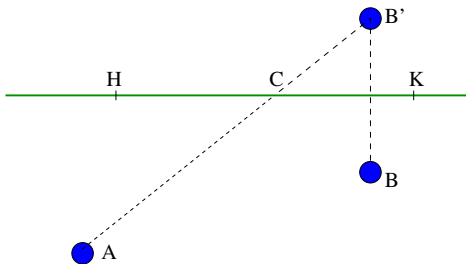
## Giocare di sponda

Su quale punto della sponda  $HK$  occorre mirare in modo che la palla inizialmente in  $A$  raggiunga la posizione  $B$ ?



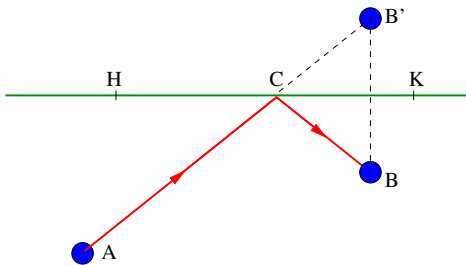
## Giocare di sponda

Su quale punto della sponda  $HK$  occorre mirare in modo che la palla inizialmente in  $A$  raggiunga la posizione  $B$ ?



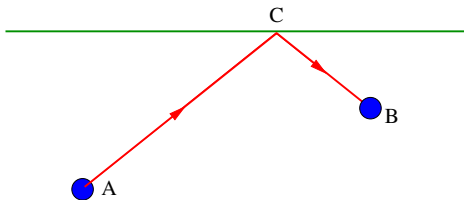
## Giocare di sponda

Su quale punto della sponda  $HK$  occorre mirare in modo che la palla inizialmente in  $A$  raggiunga la posizione  $B$ ?



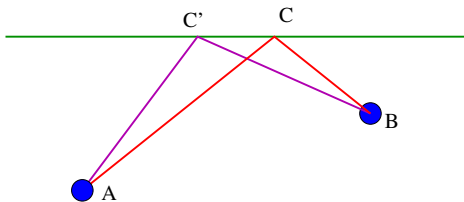
## Principio di minimo

Il percorso  $ACB$  su cui si muove la palla da biliardo ha **lunghezza minima** tra tutti i percorsi che partono da  $A$ , toccano la sponda e raggiungono  $B$ .



## Principio di minimo

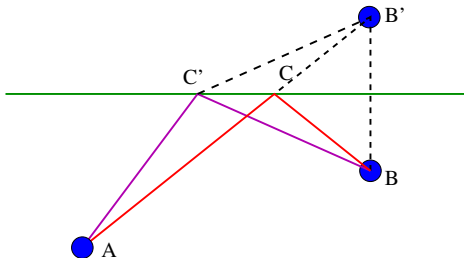
Il percorso  $ACB$  su cui si muove la palla da biliardo ha **lunghezza minima** tra tutti i percorsi che partono da  $A$ , toccano la sponda e raggiungono  $B$ .





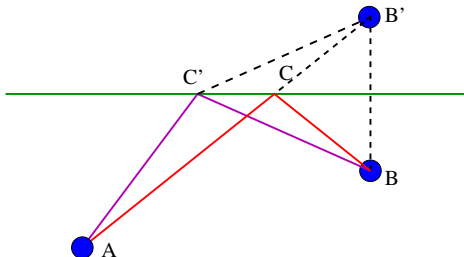
## Principio di minimo

Il percorso  $ACB$  su cui si muove la palla da biliardo ha **lunghezza minima** tra tutti i percorsi che partono da  $A$ , toccano la sponda e raggiungono  $B$ .



## Principio di minimo

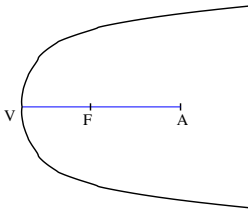
Il percorso  $ACB$  su cui si muove la palla da biliardo ha **lunghezza minima** tra tutti i percorsi che partono da  $A$ , toccano la sponda e raggiungono  $B$ .



Questo è l'analogo del **principio di Fermat**: i raggi di luce scelgono la traiettoria che rende minimo il tempo di percorrenza.

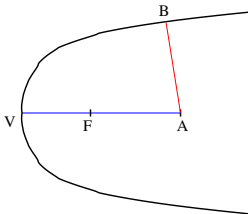
## Il principio di minimo è falso

Biliardo a forma di parabola, punto  $A$  sul suo asse di simmetria, oltre il fuoco  $F$ . Se la palla viene lanciata verso il vertice della parabola  $V$ , rimbalza e torna in  $A$ .



## Il principio di minimo è falso

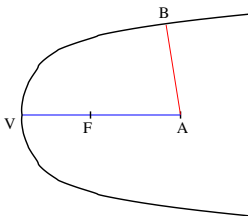
Biliardo a forma di parabola, punto  $A$  sul suo asse di simmetria, oltre il fuoco  $F$ . Se la palla viene lanciata verso il vertice della parabola  $V$ , rimbalza e torna in  $A$ .



Però  $AVA$  non ha lunghezza minima: un percorso di lunghezza minima è  $ABA$ .

## Il principio di minimo è falso

Biliardo a forma di parabola, punto  $A$  sul suo asse di simmetria, oltre il fuoco  $F$ . Se la palla viene lanciata verso il vertice della parabola  $V$ , rimbalza e torna in  $A$ .

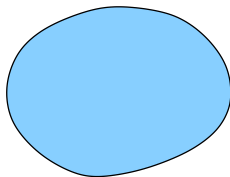


Però  $AVA$  non ha lunghezza minima: un percorso di lunghezza minima è  $ABA$ .

La traiettoria di una palla da biliardo rende **stazionaria** la lunghezza.

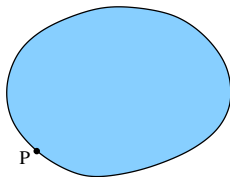
# La mappa biliardo

Spazio delle fasi  $X$  di un biliardo  $B$ :



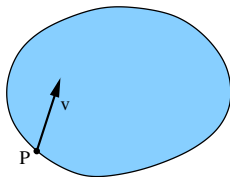
# La mappa biliardo

Spazio delle fasi  $X$  di un biliardo  $B$ :



# La mappa biliardo

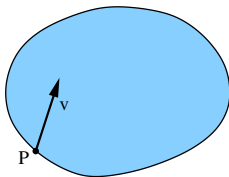
Spazio delle fasi  $X$  di un biliardo  $B$ :





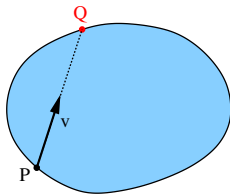
## La mappa biliardo

**Spazio delle fasi  $X$  di un biliardo  $B$ :** insieme delle coppie  $(P, v)$ , dove  $P$  è un punto sul bordo del biliardo  $\partial B$ , mentre  $v$  è un vettore di norma 1 che pensiamo applicato in  $P$  e che punta verso l'interno di  $B$ .



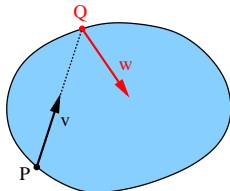
## La mappa biliardo

**Spazio delle fasi  $X$  di un biliardo  $B$ :** insieme delle coppie  $(P, v)$ , dove  $P$  è un punto sul bordo del biliardo  $\partial B$ , mentre  $v$  è un vettore di norma 1 che pensiamo applicato in  $P$  e che punta verso l'interno di  $B$ .



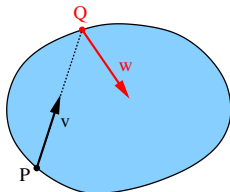
## La mappa biliardo

**Spazio delle fasi  $X$  di un biliardo  $B$ :** insieme delle coppie  $(P, v)$ , dove  $P$  è un punto sul bordo del biliardo  $\partial B$ , mentre  $v$  è un vettore di norma 1 che pensiamo applicato in  $P$  e che punta verso l'interno di  $B$ .



## La mappa biliardo

**Spazio delle fasi  $X$  di un biliardo  $B$ :** insieme delle coppie  $(P, v)$ , dove  $P$  è un punto sul bordo del biliardo  $\partial B$ , mentre  $v$  è un vettore di norma 1 che pensiamo applicato in  $P$  e che punta verso l'interno di  $B$ .

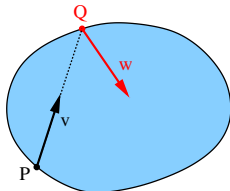


La **mappa biliardo** è l'applicazione

$$F : X \rightarrow X, \quad F(P, v) = (Q, w).$$

## La mappa biliardo

**Spazio delle fasi  $X$  di un biliardo  $B$** : insieme delle coppie  $(P, v)$ , dove  $P$  è un punto sul bordo del biliardo  $\partial B$ , mentre  $v$  è un vettore di norma 1 che pensiamo applicato in  $P$  e che punta verso l'interno di  $B$ .



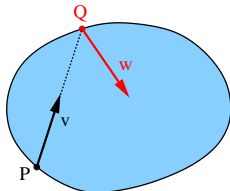
La **mappa biliardo** è l'applicazione

$$F : X \rightarrow X, \quad F(P, v) = (Q, w).$$

La mappa biliardo è un esempio di **sistema dinamico** a tempo discreto.

## La mappa biliardo

**Spazio delle fasi  $X$  di un biliardo  $B$** : insieme delle coppie  $(P, v)$ , dove  $P$  è un punto sul bordo del biliardo  $\partial B$ , mentre  $v$  è un vettore di norma 1 che pensiamo applicato in  $P$  e che punta verso l'interno di  $B$ .



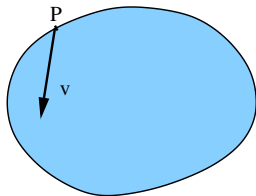
La **mappa biliardo** è l'applicazione

$$F : X \rightarrow X, \quad F(P, v) = (Q, w).$$

La mappa biliardo è un esempio di **sistema dinamico** a tempo discreto.

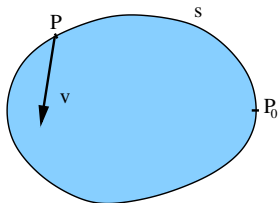
Siamo interessati a studiare le **iterate**  $F^n$  di  $F$  e le **orbite** di  $F$ .

# Rappresentazione cartesiana dello spazio delle fasi



## Rappresentazione cartesiana dello spazio delle fasi

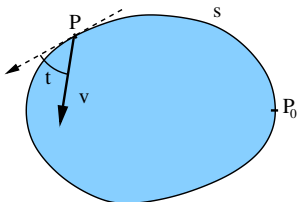
Detta  $L$  la lunghezza di  $\partial B$  e fissato arbitrariamente un punto  $P_0$  su  $\partial B$ , al punto  $P$  associamo il numero  $s \in [0, L[$ , lunghezza dell'arco da  $P_0$  a  $P$ , ottenuto muovendosi in senso antiorario.





## Rappresentazione cartesiana dello spazio delle fasi

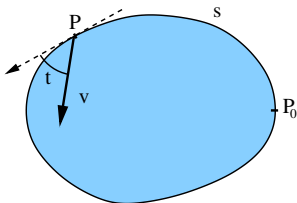
Detta  $L$  la lunghezza di  $\partial B$  e fissato arbitrariamente un punto  $P_0$  su  $\partial B$ , al punto  $P$  associamo il numero  $s \in [0, L[$ , lunghezza dell'arco da  $P_0$  a  $P$ , ottenuto muovendosi in senso antiorario.



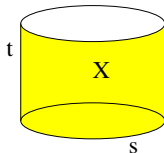
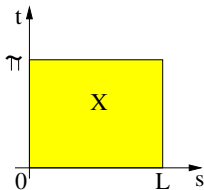
Chiamiamo  $t \in ]0, \pi[$  l'angolo tra il vettore  $v$  e la semiretta tangente a  $\partial B$  per  $P$ , in direzione antioraria.

## Rappresentazione cartesiana dello spazio delle fasi

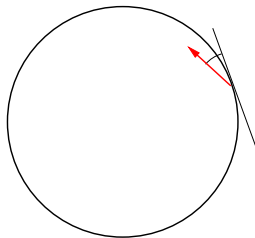
Detta  $L$  la lunghezza di  $\partial B$  e fissato arbitrariamente un punto  $P_0$  su  $\partial B$ , al punto  $P$  associamo il numero  $s \in [0, L[$ , lunghezza dell'arco da  $P_0$  a  $P$ , ottenuto muovendosi in senso antiorario.



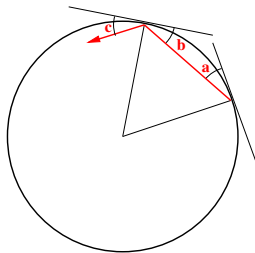
Chiamiamo  $t \in ]0, \pi[$  l'angolo tra il vettore  $v$  e la semiretta tangente a  $\partial B$  per  $P$ , in direzione antioraria.



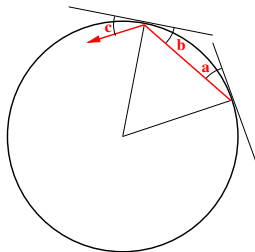
## Il biliardo circolare



## Il biliardo circolare

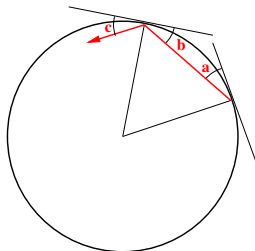


## Il biliardo circolare



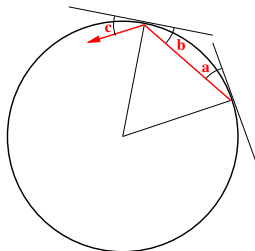
L'angolo che il vettore  $v$  individua con la tangente resta invariato.

## Il biliardo circolare



L'angolo che il vettore  $v$  individua con la tangente resta invariato.  
La funzione  $h(s, t) = t$  è un **integrale primo del moto**.

## Il biliardo circolare

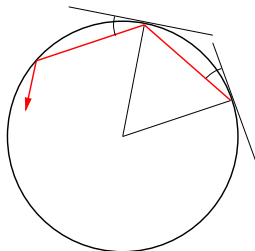


L'angolo che il vettore  $v$  individua con la tangente resta invariato.

La funzione  $h(s, t) = t$  è un **integrale primo del moto**.

La mappa  $F$  ha la forma  $F(s, t) = (s + 2t, t)$ .

## Il biliardo circolare



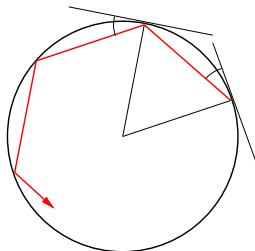
L'angolo che il vettore  $v$  individua con la tangente resta invariato.

La funzione  $h(s, t) = t$  è un **integrale primo del moto**.

La mappa  $F$  ha la forma  $F(s, t) = (s + 2t, t)$ .



## Il biliardo circolare

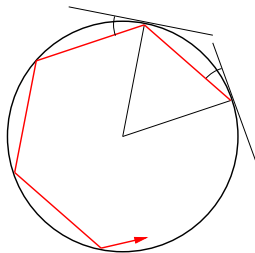


L'angolo che il vettore  $v$  individua con la tangente resta invariato.

La funzione  $h(s, t) = t$  è un **integrale primo del moto**.

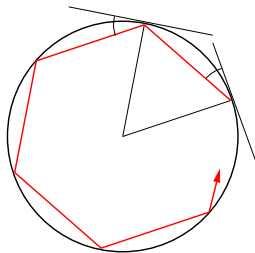
La mappa  $F$  ha la forma  $F(s, t) = (s + 2t, t)$ .

## Il biliardo circolare



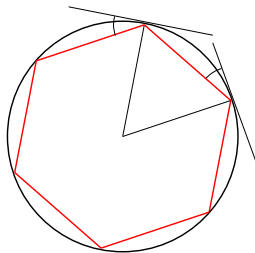
L'angolo che il vettore  $v$  individua con la tangente resta invariato.  
La funzione  $h(s, t) = t$  è un **integrale primo del moto**.  
La mappa  $F$  ha la forma  $F(s, t) = (s + 2t, t)$ .

## Il biliardo circolare



L'angolo che il vettore  $v$  individua con la tangente resta invariato.  
La funzione  $h(s, t) = t$  è un **integrale primo del moto**.  
La mappa  $F$  ha la forma  $F(s, t) = (s + 2t, t)$ .

## Il biliardo circolare

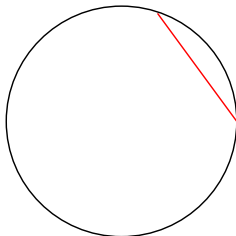


L'angolo che il vettore  $v$  individua con la tangente resta invariato.

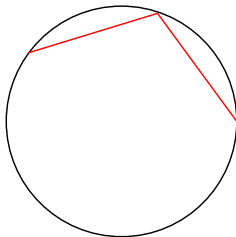
La funzione  $h(s, t) = t$  è un **integrale primo del moto**.

La mappa  $F$  ha la forma  $F(s, t) = (s + 2t, t)$ .

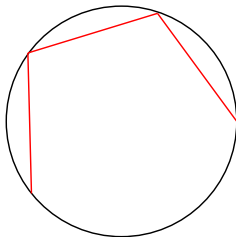
## Il biliardo circolare



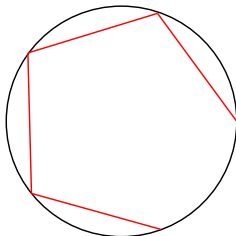
## Il biliardo circolare



## Il biliardo circolare

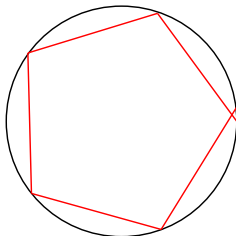


## Il biliardo circolare

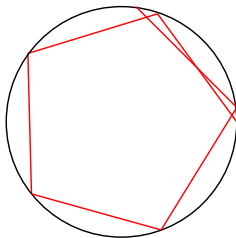




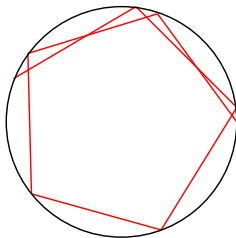
## Il biliardo circolare



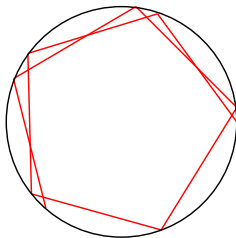
## Il biliardo circolare



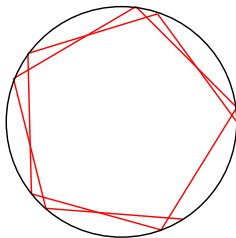
## Il biliardo circolare



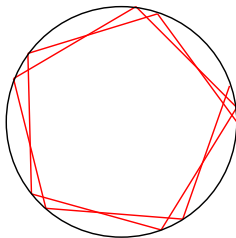
## Il biliardo circolare



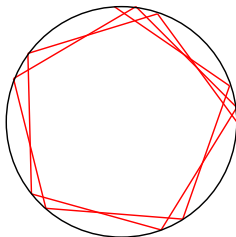
## Il biliardo circolare



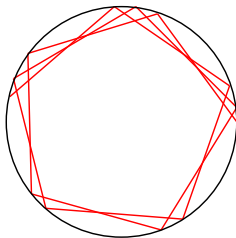
## Il biliardo circolare



## Il biliardo circolare

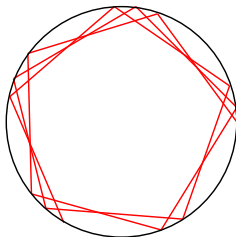


## Il biliardo circolare

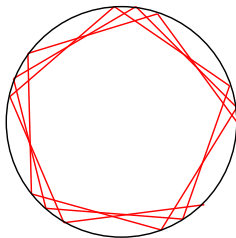




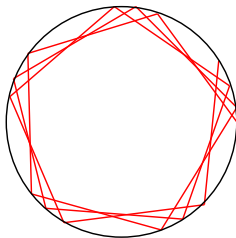
## Il biliardo circolare



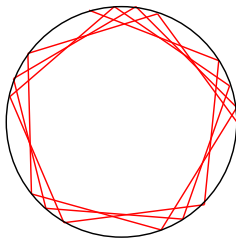
## Il biliardo circolare



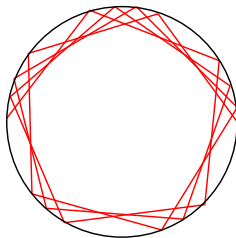
## Il biliardo circolare



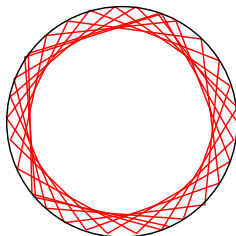
## Il biliardo circolare



## Il biliardo circolare

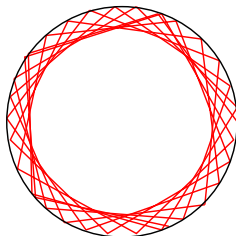


## Il biliardo circolare



Per quali angoli iniziali  $t$  otteniamo un'orbita periodica?

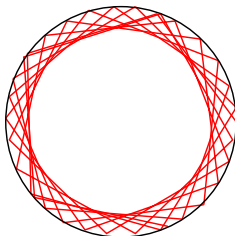
## Il biliardo circolare



Per quali angoli iniziali  $t$  otteniamo un'orbita periodica?

L'iterata  $q$ -esima della mappa  $F$  è  $F^q(s, t) = (s + 2qt, t)$ . Lo stato  $(s + 2qt, t)$  coincide con lo stato iniziale  $(s, t)$  se e solo se  $2qt$  è un multiplo intero di  $2\pi$ .

## Il biliardo circolare



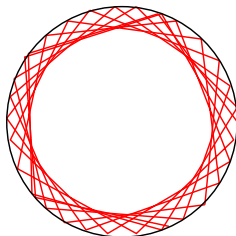
Per quali angoli iniziali  $t$  otteniamo un'orbita periodica?

L'iterata  $q$ -esima della mappa  $F$  è  $F^q(s, t) = (s + 2qt, t)$ . Lo stato  $(s + 2qt, t)$  coincide con lo stato iniziale  $(s, t)$  se e solo se  $2qt$  è un multiplo intero di  $2\pi$ .

Ossia, se e solo se  $2qt = 2p\pi$  con  $p$  intero, ossia  $t = \frac{p}{q}\pi$ : l'orbita è periodica se e solamente se l'angolo  $t$  è un multiplo **razionale** di  $\pi$ .



## Il biliardo circolare



Per quali angoli iniziali  $t$  otteniamo un'orbita periodica?

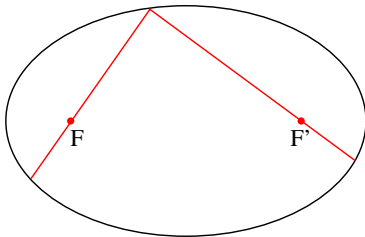
L'iterata  $q$ -esima della mappa  $F$  è  $F^q(s, t) = (s + 2qt, t)$ . Lo stato  $(s + 2qt, t)$  coincide con lo stato iniziale  $(s, t)$  se e solo se  $2qt$  è un multiplo intero di  $2\pi$ .

Ossia, se e solo se  $2qt = 2p\pi$  con  $p$  intero, ossia  $t = \frac{p}{q}\pi$ : l'orbita è periodica se e solamente se l'angolo  $t$  è un multiplo **razionale** di  $\pi$ .

Se  $t$  è un multiplo **irrazionale** di  $\pi$  allora l'insieme dei punti di rimbalzo è **denso** nella sponda.

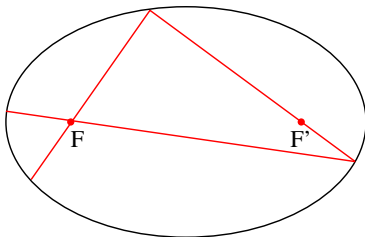
## Biliardi ellittici

In un biliardo ellittico, un'orbita che passa per un fuoco dopo il rimbalzo passa per l'altro fuoco.



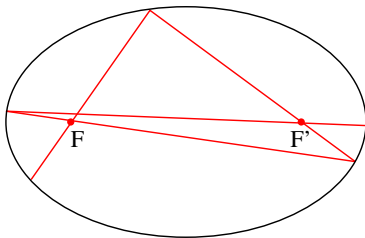
## Biliardi ellittici

In un biliardo ellittico, un'orbita che passa per un fuoco dopo il rimbalzo passa per l'altro fuoco.



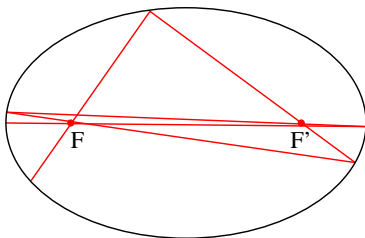
## Biliardi ellittici

In un biliardo ellittico, un'orbita che passa per un fuoco dopo il rimbalzo passa per l'altro fuoco.



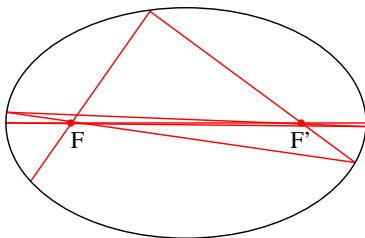
## Biliardi ellittici

In un biliardo ellittico, un'orbita che passa per un fuoco dopo il rimbalzo passa per l'altro fuoco.



## Biliardi ellittici

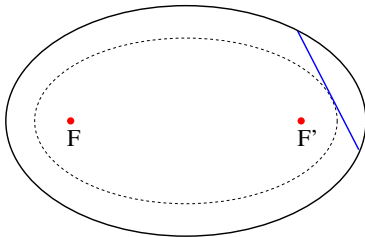
In un biliardo ellittico, un'orbita che passa per un fuoco dopo il rimbalzo passa per l'altro fuoco.



Tale orbita tende ad avvicinarsi sempre di più all'asse maggiore dell'ellisse.

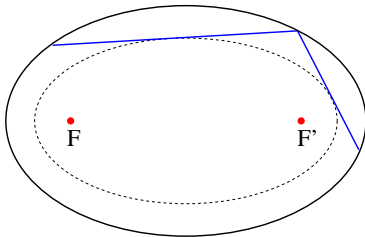
## Biliardi ellittici

Più in generale, un'orbita tangente ad un'ellisse confocale resta ad esso tangente.



## Biliardi ellittici

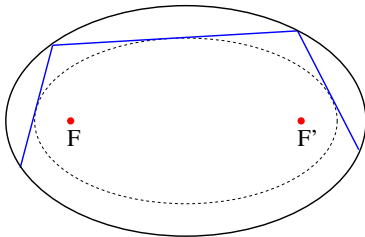
Più in generale, un'orbita tangente ad un'ellisse confocale resta ad esso tangente.





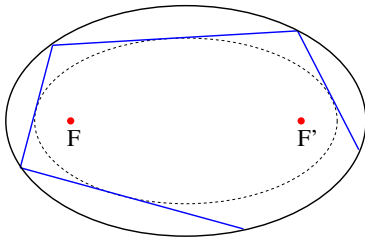
## Biliardi ellittici

Più in generale, un'orbita tangente ad un'ellisse confocale resta ad esso tangente.



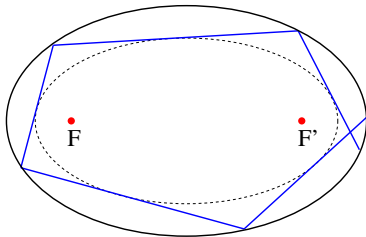
## Biliardi ellittici

Più in generale, un'orbita tangente ad un'ellisse confocale resta ad esso tangente.



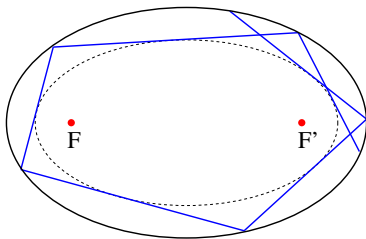
## Biliardi ellittici

Più in generale, un'orbita tangente ad un'ellisse confocale resta ad esso tangente.



## Biliardi ellittici

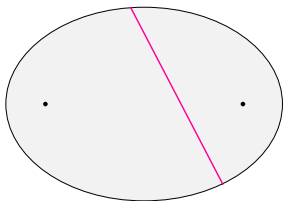
Più in generale, un'orbita tangente ad un'ellisse confocale resta ad esso tangente.



Tutte le traiettorie che non passano tra i due fuochi sono di questo tipo.

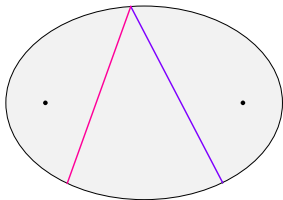
## Biliardi ellittici

Come si comporta un'orbita che passa tra i due fuochi?



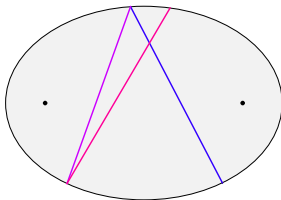
## Biliardi ellittici

Come si comporta un'orbita che passa tra i due fuochi?



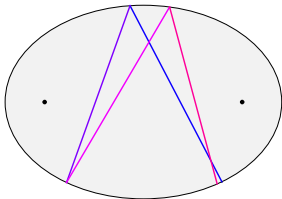
## Biliardi ellittici

Come si comporta un'orbita che passa tra i due fuochi?



## Biliardi ellittici

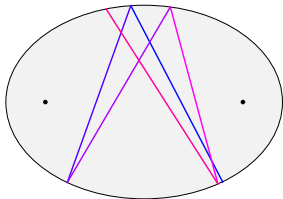
Come si comporta un'orbita che passa tra i due fuochi?





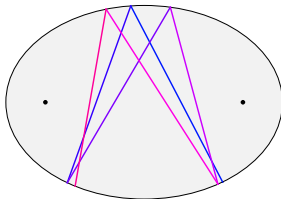
## Biliardi ellittici

Come si comporta un'orbita che passa tra i due fuochi?



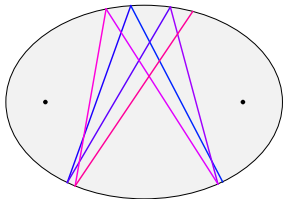
## Biliardi ellittici

Come si comporta un'orbita che passa tra i due fuochi?



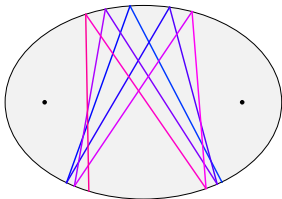
# Biliardi ellittici

Come si comporta un'orbita che passa tra i due fuochi?



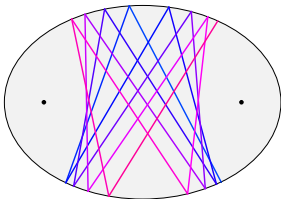
# Biliardi ellittici

Come si comporta un'orbita che passa tra i due fuochi?



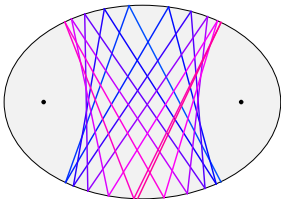
## Biliardi ellittici

Come si comporta un'orbita che passa tra i due fuochi?



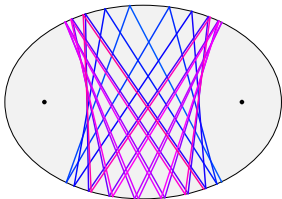
# Biliardi ellittici

Come si comporta un'orbita che passa tra i due fuochi?



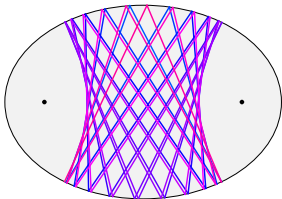
# Biliardi ellittici

Come si comporta un'orbita che passa tra i due fuochi?



## Biliardi ellittici

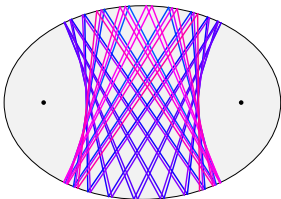
Come si comporta un'orbita che passa tra i due fuochi?





## Biliardi ellittici

Come si comporta un'orbita che passa tra i due fuochi?



L'orbita resta tangente ad una stessa **iperbole** avente per fuochi i due fuochi dell'ellisse.

## Integrabilità

Le ellissi e le iperboli aventi come fuochi  $F$  e  $F'$  appartengono ad una famiglia di curve parametrizzate da un parametro  $\lambda$ :

$$\frac{x^2}{a^2 + \lambda} + \frac{y^2}{b^2 + \lambda} = 1.$$

## Integrabilità

Le ellissi e le iperboli aventi come fuochi  $F$  e  $F'$  appartengono ad una famiglia di curve parametrizzate da un parametro  $\lambda$ :

$$\frac{x^2}{a^2 + \lambda} + \frac{y^2}{b^2 + \lambda} = 1.$$

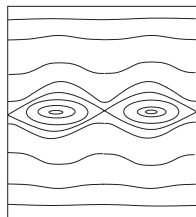
La funzione che ad uno stato  $(s, t)$  associa il valore di  $\lambda$  corrispondente alla curva alla quale l'orbita di  $(s, t)$  è tangente è un **integrale del moto**.

## Integrabilità

Le ellissi e le iperboli aventi come fuochi  $F$  e  $F'$  appartengono ad una famiglia di curve parametrizzate da un parametro  $\lambda$ :

$$\frac{x^2}{a^2 + \lambda} + \frac{y^2}{b^2 + \lambda} = 1.$$

La funzione che ad uno stato  $(s, t)$  associa il valore di  $\lambda$  corrispondente alla curva alla quale l'orbita di  $(s, t)$  è tangente è un **integrale del moto**.



Ogni biliardo possiede un integrale del moto?

## Ogni biliardo possiede un integrale del moto?

**No.** Anzi, quelli che lo possiedono sono in certo senso eccezionali.

## Ogni biliardo possiede un integrale del moto?

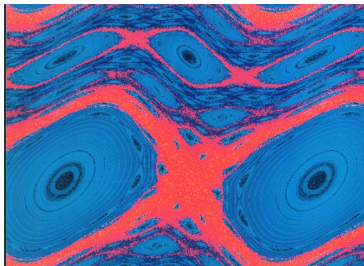
**No.** Anzi, quelli che lo possiedono sono in certo senso eccezionali.

La transizione dai biliardi integrabili al chaos è descritta dalla **teoria KAM** (Kolmogorov-Arnold-Moser) e dalla **teoria di Aubry-Mather**.

## Ogni biliardo possiede un integrale del moto?

No. Anzi, quelli che lo possiedono sono in certo senso eccezionali.

La transizione dai biliardi integrabili al chaos è descritta dalla **teoria KAM** (Kolmogorov-Arnold-Moser) e dalla **teoria di Aubry-Mather**.





## Ricorrenza di Poincaré

La mappa biliardo **conserva l'area** (nelle variabili  $s, r = \cos t$ ):

$$\text{area}(F(A)) = \text{area}(A), \quad \forall A \subset X.$$

## Ricorrenza di Poincaré

La mappa biliardo **conserva l'area** (nelle variabili  $s, r = \cos t$ ):

$$\text{area}(F(A)) = \text{area}(A), \quad \forall A \subset X.$$

**Teorema di ricorrenza di Poincaré.** Supponiamo che lo spazio delle fasi  $X$  abbia area finita e che  $F : X \rightarrow X$  conservi l'area. Allora l'evoluzione temporale di un qualunque insieme  $A \subset X$  di area positiva prima o poi interseca  $A$  stesso.

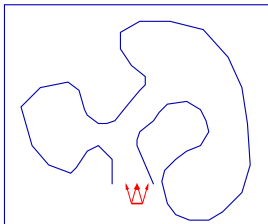
## Ricorrenza di Poincaré

La mappa biliardo **conserva l'area** (nelle variabili  $s, r = \cos t$ ):

$$\text{area}(F(A)) = \text{area}(A), \quad \forall A \subset X.$$

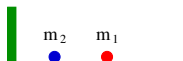
**Teorema di ricorrenza di Poincaré.** Supponiamo che lo spazio delle fasi  $X$  abbia area finita e che  $F : X \rightarrow X$  conservi l'area. Allora l'evoluzione temporale di un qualunque insieme  $A \subset X$  di area positiva prima o poi interseca  $A$  stesso.

**Conseguenza:** Non è possibile intrappolare un fascio di luce che provenga da una sorgente estesa e che parta con direzione che varia in un angolo di ampiezza positiva.



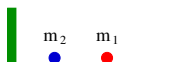
## Rimbalzi

Due palline di massa  $m_1$  e  $m_2$  vincolate a muoversi su una semiretta, limitata da un muro.



## Rimbaldi

Due palline di massa  $m_1$  e  $m_2$  vincolate a muoversi su una semiretta, limitata da un muro.

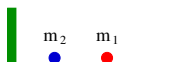


Chiamiamo  $x_1$  l'ascissa della pallina lontana dal muro,  $x_2$  l'ascissa di quella vicina al muro. Riscaldiamo:

$$s_1 = \sqrt{m_1}x_1, \quad s_2 = \sqrt{m_2}x_2.$$

## Rimbaldi

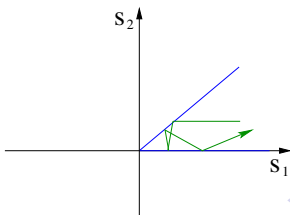
Due palline di massa  $m_1$  e  $m_2$  vincolate a muoversi su una semiretta, limitata da un muro.



Chiamiamo  $x_1$  l'ascissa della pallina lontana dal muro,  $x_2$  l'ascissa di quella vicina al muro. Riscaldiamo:

$$s_1 = \sqrt{m_1}x_1, \quad s_2 = \sqrt{m_2}x_2.$$

Il moto delle due palline è descritto da un punto nel piano cartesiano  $s_1, s_2$  confinato in un biliardo a forma di settore di angolo  $\theta = \arctan \sqrt{m_2/m_1}$ .



## Gas di Sinai

Modelliziamo un gas come un insieme di sfere rigide che si muovono liberamente in un contenitore e rimbalzano elasticamente.

## Gas di Sinai

Modellizziamo un gas come un insieme di sfere rigide che si muovono liberamente in un contenitore e rimbalzano elasticamente.

- Due sole sfere.



## Gas di Sinai

Modellizziamo un gas come un insieme di sfere rigide che si muovono liberamente in un contenitore e rimbalzano elasticamente.

- Due sole sfere.
- Il contenitore non ha pareti.

## Gas di Sinai

Modellizziamo un gas come un insieme di sfere rigide che si muovono liberamente in un contenitore e rimbalzano elasticamente.

- Due sole sfere.
- Il contenitore non ha pareti.

Se i vettori  $u_1$  e  $u_2$  indicano la posizione dei centri delle due sfere, fissiamo il centro di massa e consideriamo  $v = u_2 - u_1$ .

## Gas di Sinai

Modellizziamo un gas come un insieme di sfere rigide che si muovono liberamente in un contenitore e rimbalzano elasticamente.

- Due sole sfere.
- Il contenitore non ha pareti.

Se i vettori  $u_1$  e  $u_2$  indicano la posizione dei centri delle due sfere, fissiamo il centro di massa e consideriamo  $v = u_2 - u_1$ .

Se le due sfere hanno raggio  $r$ , il vettore  $v$  ha sempre lunghezza almeno  $2r$ .

## Gas di Sinai

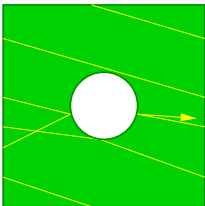
Modellizziamo un gas come un insieme di sfere rigide che si muovono liberamente in un contenitore e rimbalzano elasticamente.

- Due sole sfere.
- Il contenitore non ha pareti.

Se i vettori  $u_1$  e  $u_2$  indicano la posizione dei centri delle due sfere, fissiamo il centro di massa e consideriamo  $v = u_2 - u_1$ .

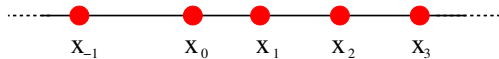
Se le due sfere hanno raggio  $r$ , il vettore  $v$  ha sempre lunghezza almeno  $2r$ .

Il sistema è equivalente ad un biliardo su un toro con un buco circolare di raggio  $2r$ , noto come **biliardo di Sinai**.



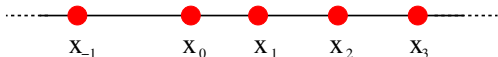
## Modello di Frenkel-Kontorova

Modelliziamo un **crystallo lineare** come infiniti atomi disposti lungo una retta:



## Modello di Frenkel-Kontorova

Modelliziamo un **crystallo lineare** come infiniti atomi disposti lungo una retta:



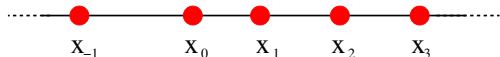
L'atomo  $h$ -esimo ha ascissa  $x_h$  ed interagisce con i due vicini. Il sistema cerca di minimizzare l'energia totale:

$$\sum_{h \in \mathbb{Z}} h(x_h, x_{h+1}),$$

dove  $h(x, y) = \frac{1}{2}|x - y|^2 + K \sin^2 x, \quad K > 0.$

## Modello di Frenkel-Kontorova

Modellizziamo un **crystallo lineare** come infiniti atomi disposti lungo una retta:



L'atomo  $h$ -esimo ha ascissa  $x_h$  ed interagisce con i due vicini. Il sistema cerca di minimizzare l'energia totale:

$$\sum_{h \in \mathbb{Z}} h(x_h, x_{h+1}),$$

$$\text{dove } h(x, y) = \frac{1}{2}|x - y|^2 + K \sin^2 x, \quad K > 0.$$

Le **configurazioni minimizzanti**  $(\dots, x_{-1}, x_0, x_1, x_2, \dots)$  sono in corrispondenza biunivoca con le orbite

$$\dots, (x_{-2}, x_{-1}), (x_{-1}, x_0), (x_0, x_1), (x_1, x_2), \dots$$

di una particolare mappa biliardo.

## Per saperne di più

- S. Tabachnikov, *Geometry and Biliards*, American Mathematical Society 2005.

<http://www.math.psu.edu/tabachni/>



## Per saperne di più

- S. Tabachnikov, *Geometry and Biliards*, American Mathematical Society 2005.  
<http://www.math.psu.edu/tabachni/>
- A. Katok e B. Hasselblatt, *Introduction to the modern theory of dynamical systems*, Cambridge University Press 1995.

## Per saperne di più

- S. Tabachnikov, *Geometry and Biliards*, American Mathematical Society 2005.  
<http://www.math.psu.edu/tabachni/>
- A. Katok e B. Hasselblatt, *Introduction to the modern theory of dynamical systems*, Cambridge University Press 1995.
- Wolfram Demonstrations Project.  
<http://demonstrations.wolfram.com/>